

Controle com atraso utilizando aproximação de Padé (T3)

-Introdução ao Controle Avançado-

*Felipe Chitolina,
Matheus Lohse.*

Relatório - Trabalho 3

Introdução

Em um sistemas de controle industriais é comum a existência de um fenômeno denominado de atraso de transporte, ou tempo morto. Tal fenômeno ocorre, quando a variável de saída de um dado processo percebe variações no sinal de entrada Δt segundos depois desta variação ter efetivamente ocorrido. Para ilustrar fisicamente o efeito do atraso de transporte, considera-se o exemplo do sistema de controle de nível apresentado na Imagem 1.

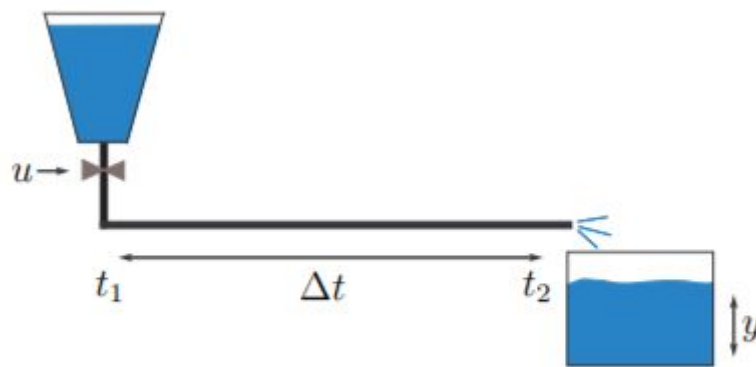


Imagem 1 - Sistema a ser controlado.

Neste trabalho, deseja-se controlar o nível de um dado recipiente localizado no final de uma tubulação. Neste recipiente será colocado um determinado líquido, oriundo do reservatório, entra na tubulação até o momento em que este é despejado no recipiente final é caracterizado como atraso de transporte deste processo.

Processos lineares com atraso de transporte são matematicamente representados no plano S pela sua função de transferência nominal $G(s)$ multiplicada por $e^{-\tau s}$, conforme a Equação 1.

$$G_d(s) = e^{-\tau s} G(s)$$

Equação 1 - Sistema genérico com atraso.

O termo exponencial representa matematicamente a transformada de Laplace associada ao atraso de transporte do sistema, onde neste caso $\Delta t = \tau$ significa a duração deste tempo morto. A influência do atraso de transporte em um sistema de controle levar a uma perda de desempenho dinâmico do sistema ou mesmo a instabilidade em malha fechada. Este efeito pode ser facilmente verificado através da análise da resposta em frequência de $e^{-\tau s}$. Em outras palavras, o atraso de transporte não modifica a curva de magnitude, mas insere um atraso na curva de fase do sistema proporcional à frequência ω . Portanto, existe uma diminuição na margem de fase do sistema.

O objetivo deste trabalho é sintonizar um regulador dinâmico de nível para um sistema de enchimento de tanque com atraso de transporte, que apresenta o modelo dinâmico segundo a Equação 2/

$$Y(s) = e^{-5s} \left(\frac{2.475}{s^3 + 9.472s^2 + 3.465s + 1.256} \right) U(s)$$

Equação 2 - Função de Transferência do sistema a ser controlado.

Fundamentação Teórica

Para iniciarmos o problema vale a pena explicitarmos como nos encontrávamos inicialmente, antes de fazermos uso de qualquer tipo de controlador ou filtro.

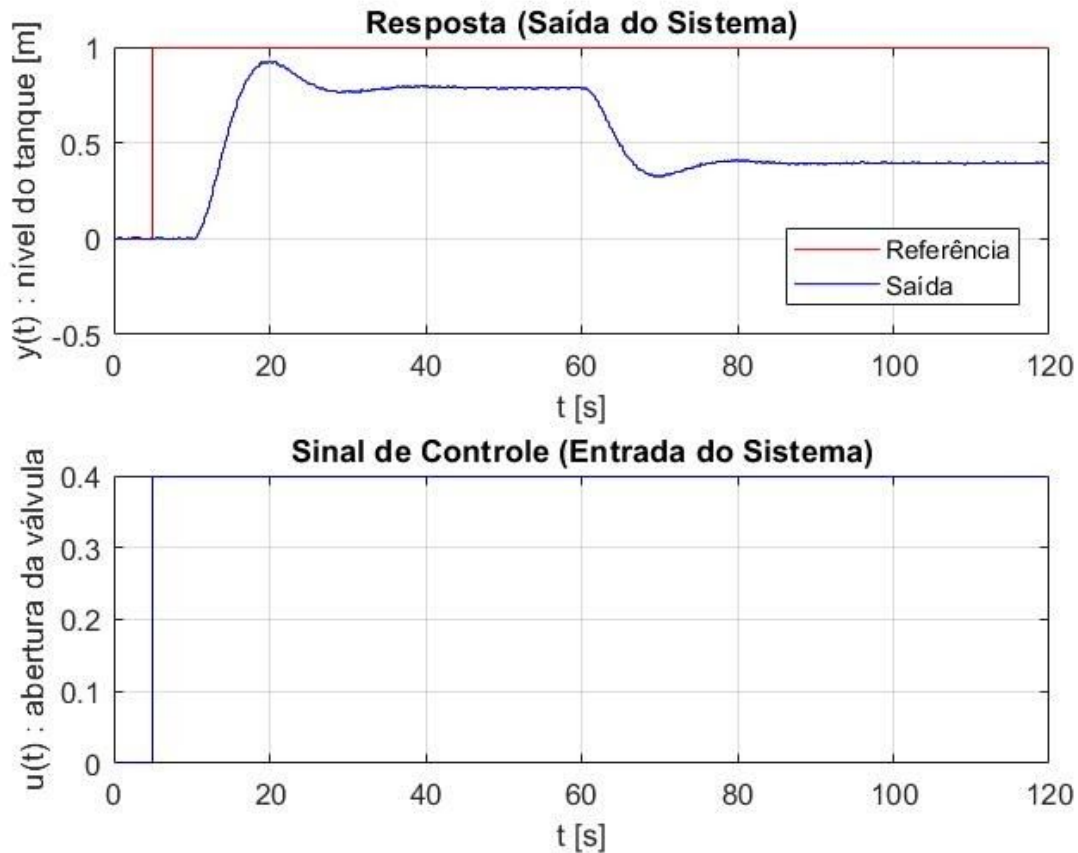


Imagem 2 - Gráficos do sistema a ser controlado.

Para que possamos continuar utilizando as mesmas ferramentas de controles de trabalhos anteriores, precisamos resolver o problema da função atraso de transporte, assim como a Transformada de Laplace, não ser Racional. Para isso, devemos utilizar uma aproximação do termo exponencial por uma função racional denominada Aproximação de Padè, Equação 3.

$$e^{-\tau s} \approx H_n(s) = \frac{b_0 + b_1(\tau s) + \dots + b_n(\tau s)^n}{a_0 + a_1(\tau s) + \dots + a_n(\tau s)^n}, \quad n = 1, 2, 3, \dots$$

Equação 3 - Aproximação de Padè.

Onde n é a ordem da aproximação. As equações que resultam nos valores dos coeficientes da Equação 3 é representado pela 4.

$$\begin{cases} a_i = \frac{(2n-i)!}{(n-i)!i!} & i = 0, 1, 2, \dots, n. \\ b_i = (-1)^i a_i \end{cases}$$

Equação 4 - a_i e b_i da Aproximação de Padê.

Exemplificando para $n = 1, 2$ e 3 , conforme a Tabela 1.

n	$H_n(s)$
1	$\frac{2 - (\tau s)}{2 + (\tau s)}$
2	$\frac{12 - 6(\tau s) + (\tau s)^2}{12 + 6(\tau s) + (\tau s)^2}$
3	$\frac{120 - 60(\tau s) + 12(\tau s)^2 - (\tau s)^3}{120 + 60(\tau s) + 12(\tau s)^2 + (\tau s)^3}$

Tabela 1 - Aproximação de Padê para $n = 1, 2$ e 3 .

Ao substituírmos o atraso pelas aproximações obtemos como resposta ao degrau em malha aberta a Imagem 3. Vale ressaltar, no entanto, que em todas as ordem das aproximações haverá ondulações na região do atraso, visto que isso é o que torna a equação racional.

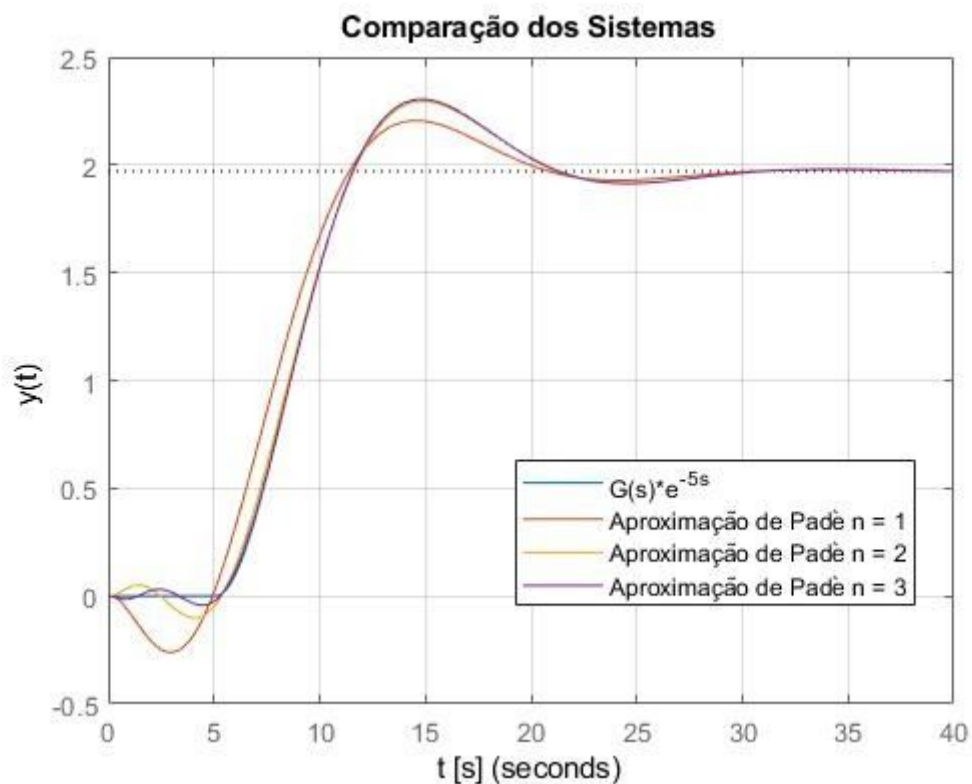


Imagem 3 - Comparação das Aproximações de Padê.

Ao analisarmos as respostas encontradas podemos afirmar que considerando $n = 3$ podemos aproximar consideravelmente bem o efeito do atraso de transporte.

Para efeito de comparação projetamos um controlador ignorando o atraso do sistema, ou seja, excluindo uma parte da dinâmica. Durante o projeto utilizamos a equação anteriormente explicitada sem o atraso e deixamos o resto da simulação acontecer normalmente.

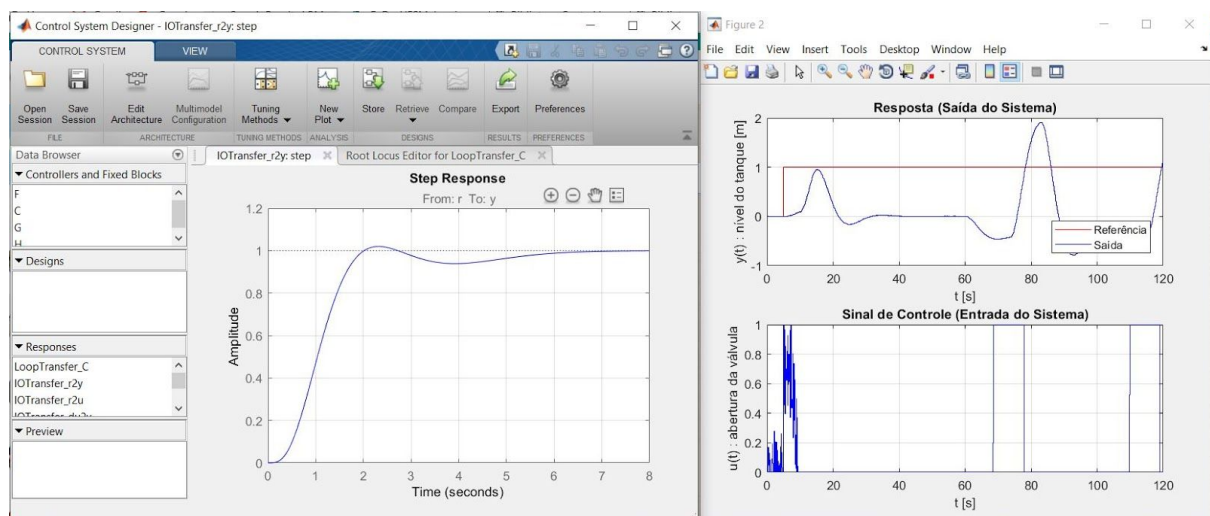


Imagem 4 - Gráficos relativos ao controle sem o atraso.

Como podemos observar pela Imagem 4, a resposta ao degrau da esquerda o sistema, aparentemente, segue todos os parâmetros de projeto com uma certa folga, no entanto ao aplicarmos no sistema, o mesmo não consegue lidar com o atraso gerando os gráficos da direita.

Logo, como mencionado anteriormente, devemos utilizar a Aproximação de Padè. Por estamos utilizando o Matlab e desejamos obter os melhores resultados, utilizamos $n = 3$. Partindo desse pressuposto, acabamos com a seguinte equação:

$$Y(s) = \frac{-309.4 s^3 + 742.5 s^2 - 742.5 s + 297}{125 s^6 + 1484 s^5 + 3575 s^4 + 4158 s^3 + 2553 s^2 + 792.6 s + 150.7} U(s)$$

Com a equação encontrada, partimos para a discretização da mesma e projeto do Controlador. Para que isso, utilizamos a função `c2d`, com Tustin como método, do Matlab para a discretização e o `rltool` para o projeto do controlador, nele obtivemos as Imagens 5 e 6.

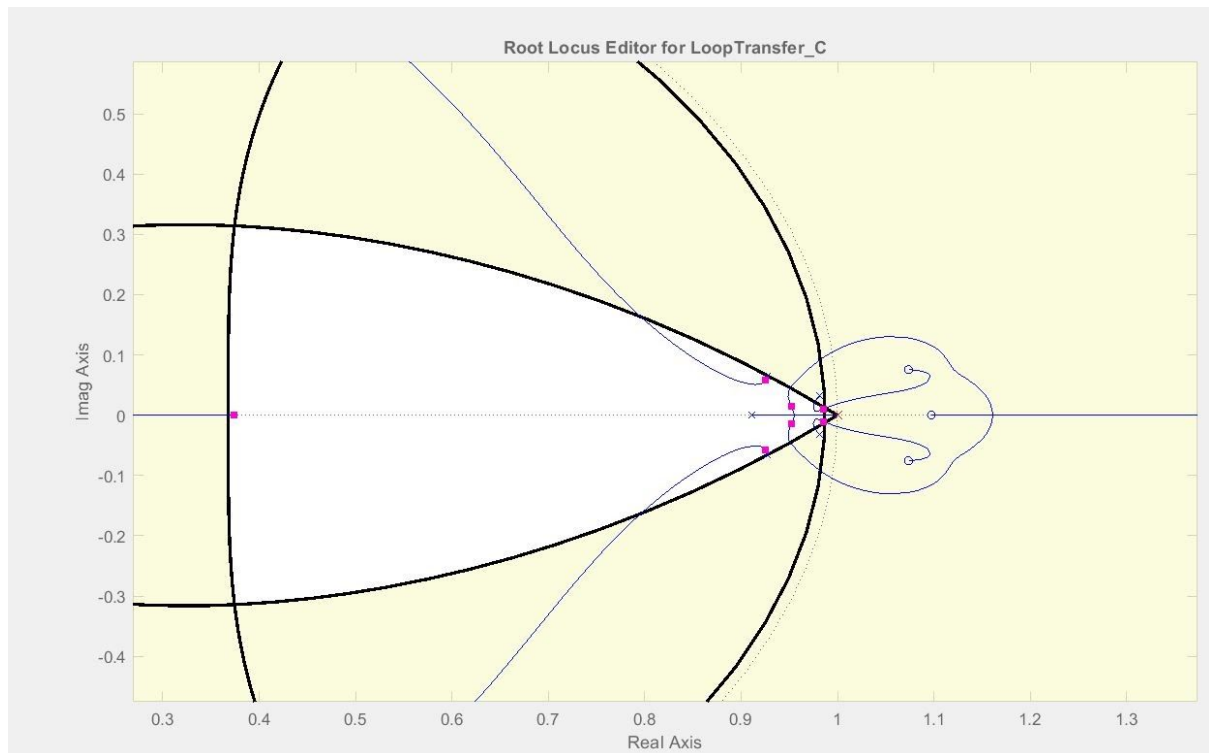


Imagem 5 - RootLocus relativo ao controle com o atraso.

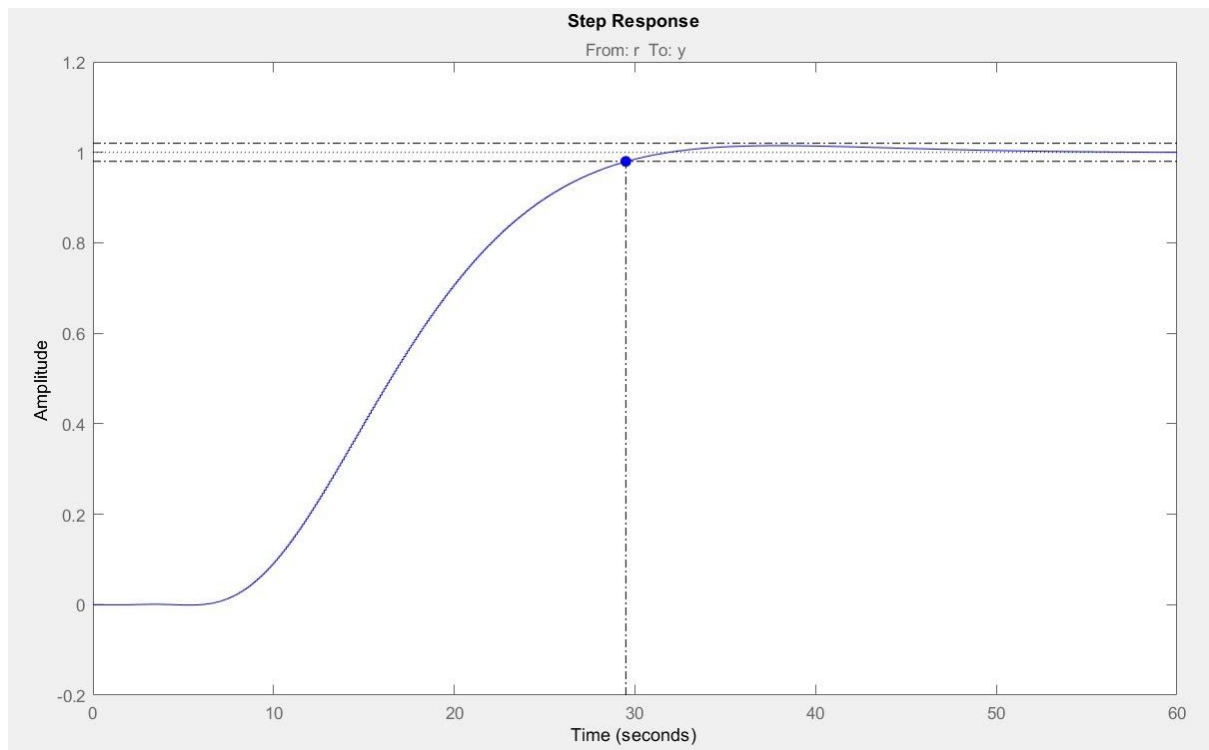


Imagem 6 - Resposta ao degrau relativo ao controle com o atraso.

Por fim, para que possamos comprovar a eficácia do nosso controlador executamos o sistema novamente e obtivemos como resposta a imagem abaixo.

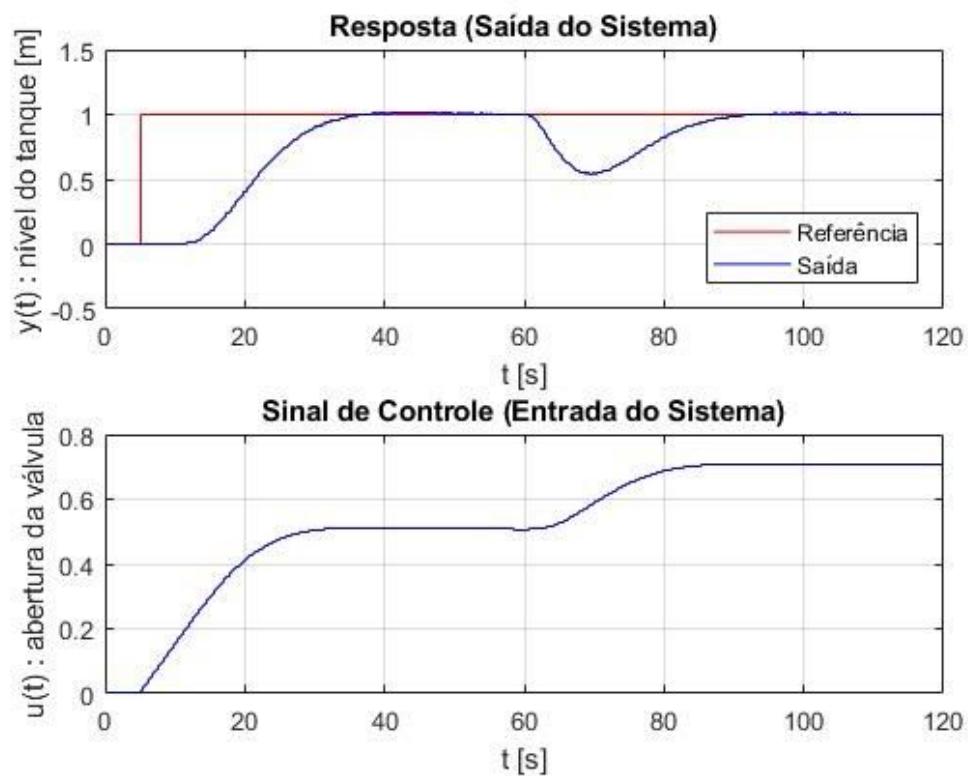


Imagem 7 - Simulação final do sistema.

Códigos Utilizados

main.m

```
clc
close all
clear all

addpath('data');
load('variaveis_controlador.mat')
load('controleatraso.mat')
global Fz Gz Cz

%%% Configuração da Simulação

% Atraso de transporte
tau = 5;
s = tf([1 0],[1]);

% Tempo total de simulação
ttotal = 120; % s

% Período de amostragem do controle
T = 0.1; % s

% Flag para habilitar/desabilitar ruído no
sensor da planta
global noise
noise = true; %( false -> sem ruído , true
-> com ruído )

% Flag para simulação de distúrbio
externo na entrada da planta
global dist
dist = 1; %( 0 -> sem distúrbio ,
% 1 -> distúrbio do tipo degrau
ativado aos 60 segundos )

%%% Ensaio do Sistema

%Código Lohse
Fz = c2d(Fs,T,'tustin');

Cz = c2d(Cs,T,'tustin');
Gs = tf([2.475],[1 9.472 3.465 1.256]);
Gz = c2d(Gs,T,'tustin');

[t,y,yn,u,r,d] = runsim( ttotal , T , 1e-4 );

% t -> vetor de tempo
% yc -> sinal de saída do sistema (limpo)
% yn -> sinal de saída do sistema (ruidoso)
% u -> sinal de controle do sistema
% r -> sinal de referência do controle
% d -> sinal de perturbação aplicado na
planta

%Código Escobal
Hs1 = tf([-tau 2],[tau 2]);
Hs2 = tf([tau^2 -6*tau 12],[tau^2 6*tau
12]);
Hs3 = tf([-tau^3 12*(tau^2) -60*tau
120],[tau^3 12*(tau^2) 60*tau 120]);

Hz3 = c2d(Hs3,T,'Tustin');
Gza = Hz3*Gz;

hold on
step(Gs*exp(-5*s))
step(Gs*Hs1)
step(Gs*Hs2)
step(Gs*Hs3)
grid on
xlabel('t [s]')
ylabel('y(t)')
title('Comparação dos Sistemas')
legend('G(s)*e^-5s','Aproximação de
Padè n = 1','Aproximação de Padè n =
2','Aproximação de Padè n = 3')
```

```
[t,y,yn,u,r,d] = runsim( ttotal , T , 1e-4 );

% t -> vetor de tempo
% yc -> sinal de saída do sistema (limpo)
% yn -> sinal de saída do sistema (ruidoso)
% u -> sinal de controle do sistema
% r -> sinal de referência do controle
% d -> sinal de perturbação aplicado na
planta
%% Animação

runanim( u , y , T );

%% Plotagem

figure
subplot(2,1,1)
```

setpoint.m

```
function [ r ] = setpoint( t )

% Esta função é responsável por definir o
sinal de referência a ser
% enviado para o sistema de controle.

% Programe aqui a definição de "r"

%   r = 0;

% Exemplo: Referência do tipo degrau

if t >= 5
    r = 1;
else
```

control.m

```
stairs(t,r,'r')
hold on
stairs(t,yn,'b')
grid on
xlabel('t [s]')
ylabel('y(t) : nível do tanque [m]')
title('Resposta (Saída do Sistema)')
legend('Referência','Saída','Location','SE')
subplot(2,1,2)
stairs(t,u,'b')
grid on
xlabel('t [s]')
ylabel('u(t) : abertura da válvula')
title('Sinal de Controle (Entrada do
Sistema)')
```

```
    r = 0;
end

% Exemplo: Referência do tipo senoidal

%   per = 1; % período da onda [s]
%
%   w = 2*pi/per;
%
%   r = 10*sin( w*t );
%
end
```

```
function u = control( t , y , r , T )
```

```
% Variáveis de Entrada do Controlador
```

```
-----
```

```
% t -> tempo de execução da simulação  
[s]
```

```
% y -> sinal de saída medido na amostra  
atual
```

```
% r -> sinal de referência para a saída  
atual
```

```
% T -> período de amostragem do  
sistema [s]
```

```
% Variáveis de Saída do Controlador
```

```
-----
```

```
% u -> sinal de controle a ser entregue a  
planta
```

```
% Programe sua lógica de controle aqui
```

```
-----
```

```
% u=0;
```

```
% Exemplo de degrau em malha-aberta  
para identificação:
```

```
if t >= 5  
    u = 0.4;  
else  
    u = 0;  
end
```

```
% Exemplo de controle em  
malha-fechada proporcional:
```

```
% Kp = 1;  
%  
% e = r-y;  
% u = -Kp*e;
```

```
% Exemplo de controle em  
malha-fechada PID:
```

```
% persistent ui ed  
% if t == 0  
%     ui = 0;  
%     ed = 0;  
% end  
%  
% Kp = 1;  
% Ki = 1;  
% Kd = 1;  
%  
% e = r-y;  
% ed = e;  
%  
% up = Kp*e;  
% ui = ui + Ki*T*e;  
% ud = Kd*(e-ed)/T;  
%  
% u = up+ui+ud;
```

```
global Fz Gz Cz
```

```
persistent ui rf e ri  
if t == 0  
    ui(1:3) = 0;  
    rf(1:2) = 0;  
    e(1:3) = 0;  
    ri(1:2) = r;  
end
```

```
% Vetores da Fz e Cz  
numF = Fz.num{1};  
denF = Fz.den{1};  
numC = Cz.num{1};  
denC = Cz.den{1};
```

```
ri(1) = r;
```

```

    rf(1) = - denF(1)*rf(2) + numF(1)*ri(1)
+ numF(2)*ri(2);
    e(1) = ri(1) - y;
    ui(1) = ui(2) + 0.003*e(1);

    %ui(1) = - denC(2)*ui(2) -
denC(3)*ui(3) + numC(1)*e(1) +
numC(2)*e(2) + numC(3)*e(3);

    ui(3) = ui(2);

    e(3) = e(2);

    ui(2) = ui(1);
    rf(2) = rf(1);
    e(2) = e(1);
    ri(2) = ri(1);

    u = ui(1);

end

```